

大淀河口附近の海岸変形について

宮崎大学工学部 吉高 善男

はじめに 筆者は先に宮崎県の海岸について若干の問題点をあげてあるが(第1回災害海岸総合講演会:昭39-7)、その後の調査結果により、海岸変形の実況について、又大淀河口近くの小川宮崎港の新航路が昭39年9月開通したので、今までの模型実験の結果とも考えあわせて大淀河口附近の海岸変形について報告する。即ち今まで海岸調査は永年の漂砂方向を数十年くらいたる巨視的で現象とたつて行なつてきていたが、新河口開通とともに問題の発合は数ヶ月程度の変化を必要とし、永年の漂砂方向を利用すると時に矛盾を感ずることもあつてやうからときの考え方を少し述べておきたい。

漂砂方向 宮崎での海岸での漂砂方向は宮崎港調査報告書(昭37-3)によると北上するには夏期の西側を通る台風時のものであり、東側を通る台風と冬期はすべて南下するが5~6年以上の長期間では南下するとみられる。これは宮崎県中央部海岸(60 km)の汀線移動平均粒径が南北に右子程小さくあること、南端の青島附近を基準としたところからうかがうだけだ。又波の状況も図-1、図-2のようで、波向は海岸線に沿う直角であり、波高は1.5 m以下のものが80%で、周期は8~12.5 secのものが85%を占め(内港礁は南北16 km)、steepnessは殆ど0.015以下と45°で、Johnson K & 3所謂"step"型である據積型であり、漂砂も大部分は汀線附近にあると考えられる。(ただし H_0/d_{50} の大きさ)ので($d_{50}: 0.4 \sim 1.0$)場合によつては"bar"型となることを考慮される(水理公算第530)。

昭和39年度の海岸変形 宮崎港の新航路が開通するための導流堤工事不成功後、昭和37年には北導流堤が汀線より200 m(-3 m)近く延長、昭和38年には中導流堤も設置され左のとて前述の漂砂方向を理解するため、約10 km以内の汀線に直角方向の断面をとった。これは豊浜日出前港の汀線までである。

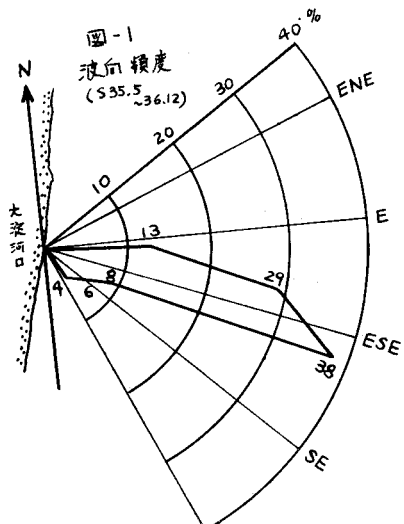


図-1
波向頻度
(535.5
~36.12)

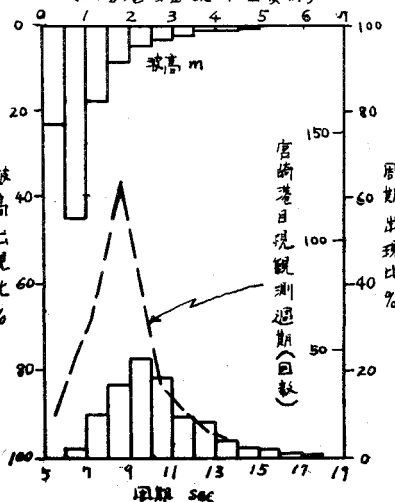
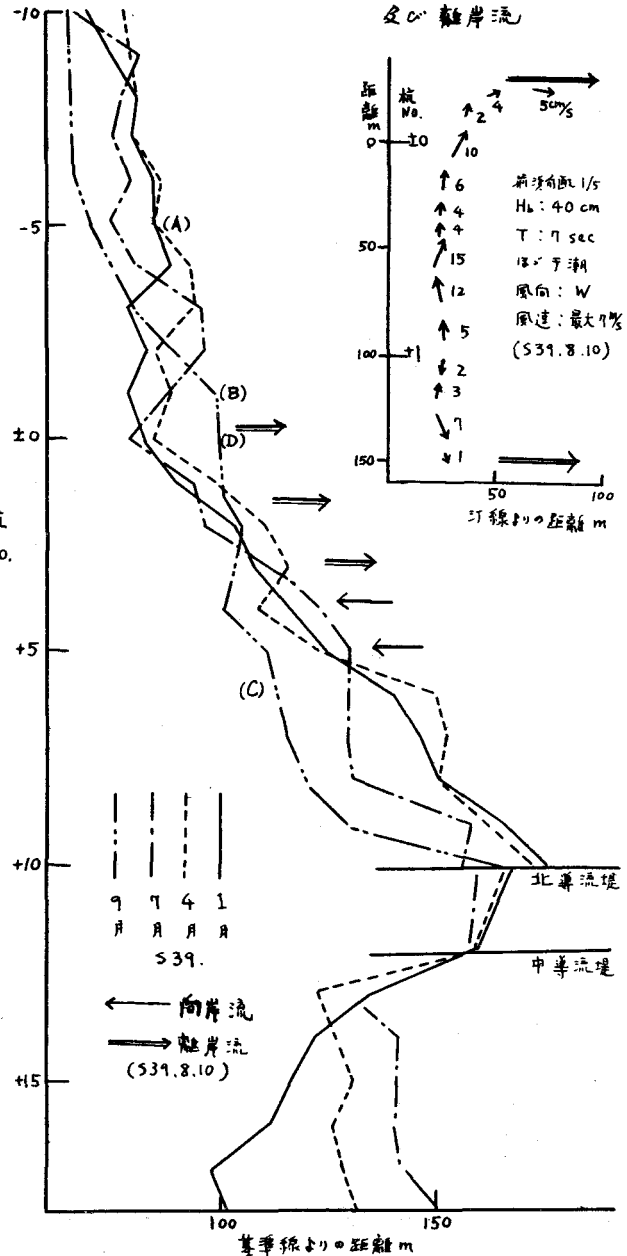


図-2
波高、周期・出現比
(内海港礁観測:全資料)

汀線変化と離岸流 今 +2m 縱（大体満潮位）を用いて図-3 を作成。即ち道線沿岸部も局部的に凸凹があり、100~300m の cusp が発達し、cusp の位置は常に変動している。昭和39年8月の測定結果と図-3 の矢印は離岸流、向岸流が示された。矢印は計測点を示す。離岸流速は 5~10 cm/s であり、沿岸流速は 10 cm/s 程度 (Munk の式の計算値の 50% 位) である。二つと三つの測定は周期が短いので循環は強くあり、周期が長くなると循環は緩慢はよく発達し、矢の長さと大きさは 1km 以上の距離で “みご” とよばれる深山とよっての大きさを離岸流（矢）で表すことにあり）が発達、古老の言ふとてと殆ど一定地盤にあるといふ。

断面図 昭和39年夏の断面図を検討してみると大体図-4 のようだ。A) は A 型と B) は後進の変化を示す。B) は A 型から C) へと進化し、C) は後進と後退のときには前進も進捗し、Y の逆でもあり、D) は大体平行的に入上下するものである。前述の Cusp は移動するものではつきりの文字がなく、大体 A) 型は cusp の中間に、B) 型は cusp の地盤部に離岸流。所にしてしてある。南北で矩形間の沿岸変形は離岸流によって推定される。又 C) 型は cusp の地盤をやくはがれ方防で波の上に大き影響、D) 型は一時的に水位変化がある。C), D) は又後進後方に岸から離れる移動も考えられる。D) は附近の沿岸変化にも大きく影響をおぼす。

図-3 +2m 縱の変化
及ぶ離岸流

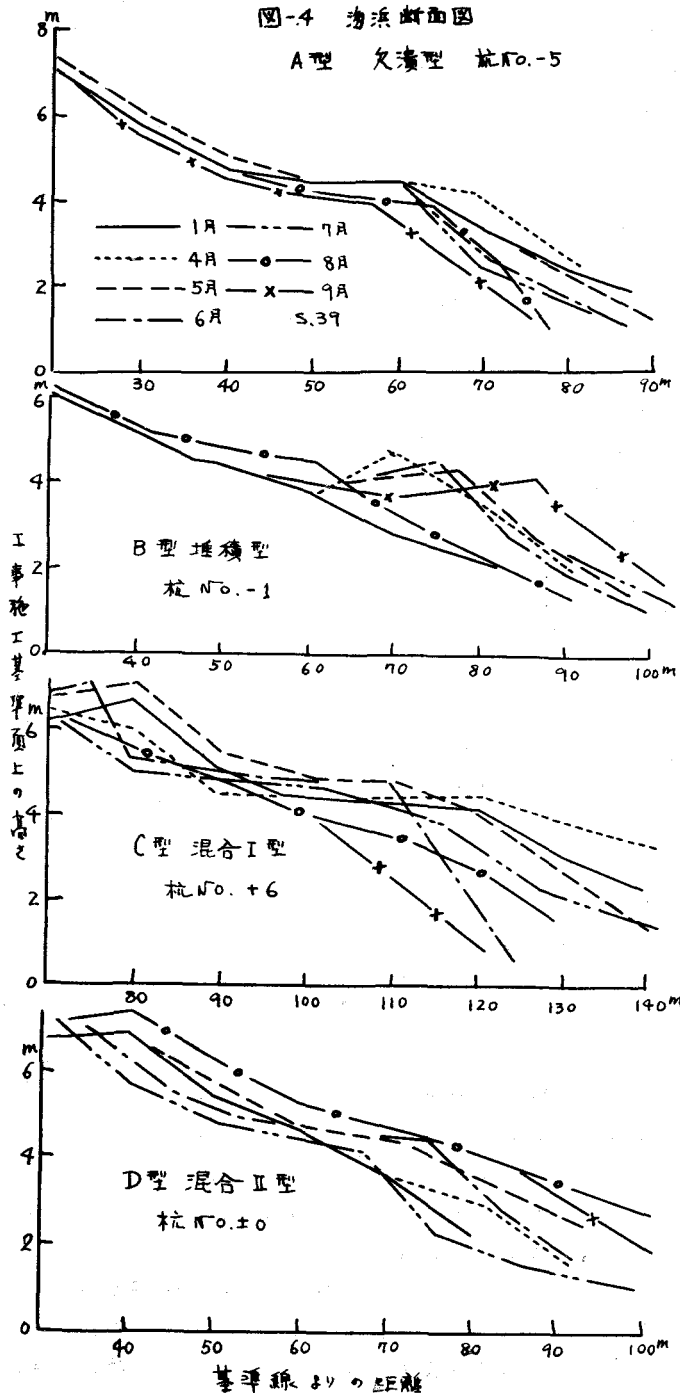


短期の海岸変形 前に検定した漂砂方向によると北導流堤の引放前述のうちの変化が少しあるが、他の箇所では変遷の方が大きい。これは北導流堤の設置後8ヶ月は短期間では、その影響圧即ち離岸流の変化をあくまで3ヶ月で長期間でみると变化があくまで漸次進る海岸変形を示すが、またたとえてもこのように、即ち弱い離岸流はすぐ変化せず、cuspが移動するが、強い離岸流に対する影響は毎月によって現れたりしない。防護堤の設置は必ずしも早く、新規の開拓には遅れないと結論する。

新河口の開拓と新河口の堆積図(図-5)と離岸図(図-6)を示す。これは開拓後約2ヶ月の状況であり、開拓による流量は多い。これは主流はやや南方に向ひ(中導流堤は北より短い)津川所でカーブを西側に砂をあとに運ぶると馬蹄型の堆積がみられる。北は主流の先端まで砂が堆積してしまはずか、南では中導流堤先端に堆積し、その砂は導流堤に沿ってあります循環のためであります。それだけではなく所でこれは二ヶ所あります。

図-4 海浜断面図

A型 欠濱型 桁N.O.-5



等高線をもつての
障害物は一層の
離岸流をともな
うセル状循環を
あらわす(沿岸
工程・I:P64)
この場合は初期
の地形不整により
左の方向岸流を
ともなう堆積状
態はよがつた。
しかし一方中等
堤と河床附近
はその負荷增加
はげしかつた。
図-7には実験
値も示してお
るが、これは
非常にすぐあつた。

波の力とともに原地形不
整うつめにあつてつる
だけで大体の様子は似て
いた。実験での堆積地帯
は導堤先端よりB~2B
(Bは河口巾)とて
て大体一致した(土木
学会論文集第38卷
第38-2)。

むすび　以上により短期間にかけた離岸変形は渕底流と丈配さること多く、局部的
的と流れの観察であやまちに陥りやすいことを考へる。又離岸変形は前段の状
況からでもく複数の状況を考慮して考えねばならぬ。波の力もさす風によつておこる運動
で欠落しやすいう形狀の地変なども充分顧慮しておいて、構造物設置の時期からあやまちを
さうにしなければならぬ。又構造物設置による渕底流の変化と初期の地形に影響をも
つたことを大であると考える。

これらの資料は運輸省水路港湾局、宮崎県環境保全課の利用させていただき
ておれど、感謝の意を表す。沿岸調査は文部省科学研究所、高潮災害の総合的研究
(代表者大曾根教授)の費用によつたことを附記する。

以上一

図-5 大連新河口附近深浅圖
(53.9.12)

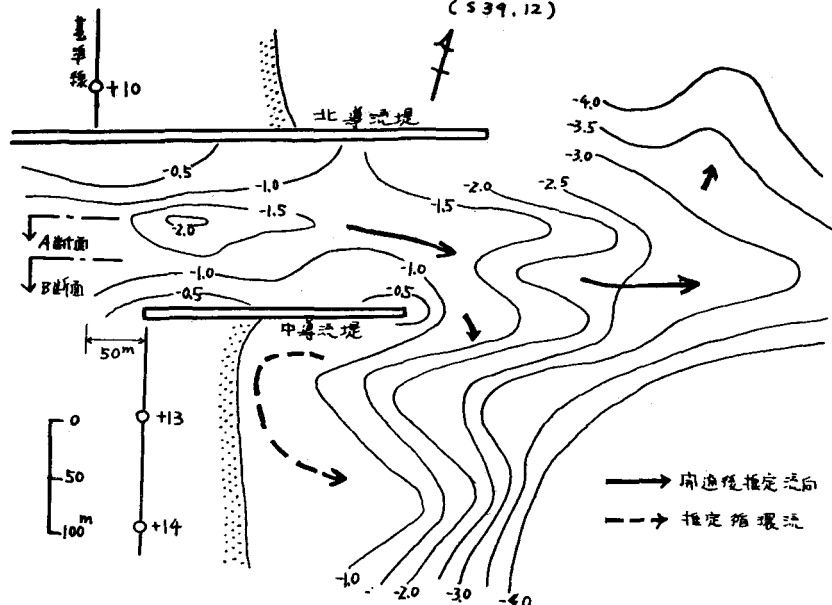


図-6 新河口の現地及C1模型断面図

